•腹部影像学 •

I 期子宫内膜癌的 MRI 诊断

阳红艳, 许乙凯, 曹国洪

【摘要】 目的:回顾性分析 MRI 对 I 期子宫内膜癌的诊断价值与意义。方法:54 例 I 期子宫内膜癌患者均行 MRI,分析肿瘤与子宫肌层在动态增强扫描不同时期的对比噪声比(CNR)和子宫肌层浸润深度,并与术后病理对照。结果: I a 期 6 例(11%),I b 期 29 例(54%),I c 期 19 例(35%),MRI 对肿瘤侵犯子宫体肌层<50%的诊断符合率为 80%,对于子宫体肌层受累>50%的诊断符合率为 84%。肿瘤与子宫肌层在动态增强扫描延迟期的 CNR 差异具有显著性意义(P<0.001)。结论:MRI 能够明确诊断子宫体肌层受侵犯的深度、范围,对于临床治疗有极大的帮助。

【关键词】 子宫肿瘤;子宫内膜癌;磁共振成像

【中图分类号】R445.2; R737.33 【文献标识码】A 【文章编号】1000-0313(2006)02-154-03

MR Imaging Diagnosis of Stage I Endometrial Carcinoma YANG Hong-yan, XU Yi-kai, CAO Guo-hong. Medical Imaging Center, Nanfang Hospital, Nanfang Medical College, Guangzhou 510515, P. R. China

[Abstract] Objective: To assess MRI diagnosis of stage I endometrial carcinoma retrospectively. Methods: 54 consecutive patients with stage I endometrial carcinoma underwent MR imaging and surgery. The analysis included the depth of myometrial infiltration and the tumor and myometrium contrast-to-noise ratios(CNR) during different phases of dynamic imaging compared with surgicopathologic findings. Results: Stage I a, stage I b and stage I c patients with endometrial carcinoma were $6(11\%) \cdot 29(54\%)$ and 19(35%) respectively. MR imaging made correct assessment in 80% of patients with myometrial infiltration of less than 50% and in 84% of patients with myometrial infiltration of 50% or greater. A significant improvement was shown in tumor and myometrium contrast-to-noise ratios during the equilibrium phase compared with the other phases of the dynamic scanning(P < 0.001). Conclusion: MR imaging is highly accurate in the diagnosis of stage I endometrial carcinoma and is of great help in surgery or therapy.

(Key words) Uterine neoplasms; Endometrial carcinoma; Magnetic resonance imaging

子宫内膜癌是最常见的妇科恶性肿瘤之一,占20%~30%,高发年龄为58~61岁,该病的早期症状明显,大多数患者能早期诊治,预后较好。 I 期子宫内膜癌术前影像学分期诊断对于确定手术范围起关键性作用。

材料与方法

搜集 1998 年~2005 年 54 例 I 期子宫内膜癌患者,33~71 岁,平均 56.3 岁,均经手术病理证实,手术病理分期:I a 期 6 例(11%),I b 期 29 例(54%),I c 期 19 例(35%)。

MRI 检查采用 Siemens Magnetom Vision 1.5T 磁共振扫描仪,应用盆腔相控阵或表面线圈,扫描序列采用子宫矢状面和横轴面 SE T₁WI(TR 390 ms, TE 4 ms,90°)、TSE T₂WI(TR 4100 ms, TE 99 ms)、FLAIR T₂WI(TR 600 ms, TE 15 ms,15°)扫描,层厚5 mm,层间距 1.5 mm,矩阵 256×256。必要时加扫冠

作者单位;510515 广州,南方医院医学影像中心作者简介:阳红艳(1975一),女,湖南望城人,硕士研究生,主要从事腹部影像学诊断工作。

状面,并注射 Gd-DTPA(0.1 mmol/kg)行增强扫描。由 $2\sim3$ 位有经验的 MRI 诊断医师双盲阅片,采用 FI-GO 分期。

结 果

所有病例在 T₁WI 上肿瘤相对于子宫体肌层均表现为等信号,均可见子宫内膜的明显增厚,呈颗粒点状或片状的不规则增厚,子宫腔增宽。在 T₂WI 上肿瘤表现为高信号 49 例(91%),等信号 4 例(7%),低信号1例(2%)。结合带在 T₂WI 通常显示为明显的条带状低信号(图 1~3);绝经期患者,由于子宫退化、萎缩,子宫体积缩小,子宫体肌层变薄,结合带多不明显或消失,本组 41 例(76%)可清楚显示结合带,而另外13 例(24%)未显示,均为绝经后患者。本组有 6 例(11%)合并子宫肌瘤,表现为浆膜下子宫肌层内多发的圆形等信号的结节状或团块状影,增强扫描可见明显的强化,其强化程度及模式与子宫肌层一致(图 1、3)。动态增强 MRI 子宫的三种强化模式:内膜下强化带(图1c、d)、结合带强化(图2c、d)和全子宫体肌层

强化模式(图 3b),本组分别为 23 例 (43%)、10 例(19%)和 21 例(39%)。

根据术后病理结果,子宫体肌层受累被正确诊断 45 例 (94%)。对于子宫体肌层受累 < 50% 的诊断符合率为 80%,对于子宫体肌层受累 > 50% 的诊断符合率为 84% (表 1)。肿瘤与子宫肌层的平扫及动态增强各期的对比噪声比 (contrast-to-noise ratio, CNR) 经 SPSS 10.0统计软件分析,与动脉期和门脉期相比,延迟期差异有统计学意义 (P < 0.001)。

表 1 【期子宫内膜癌的 MRI 与术后病理结果对照

MRI	术后病理			
	Iα期	Ib期	Ic期	合计
Ia期	5	2	0	7
Ib期	1	23	3	27
Ιc期	0	4	16	20
合计	6	29	19	54

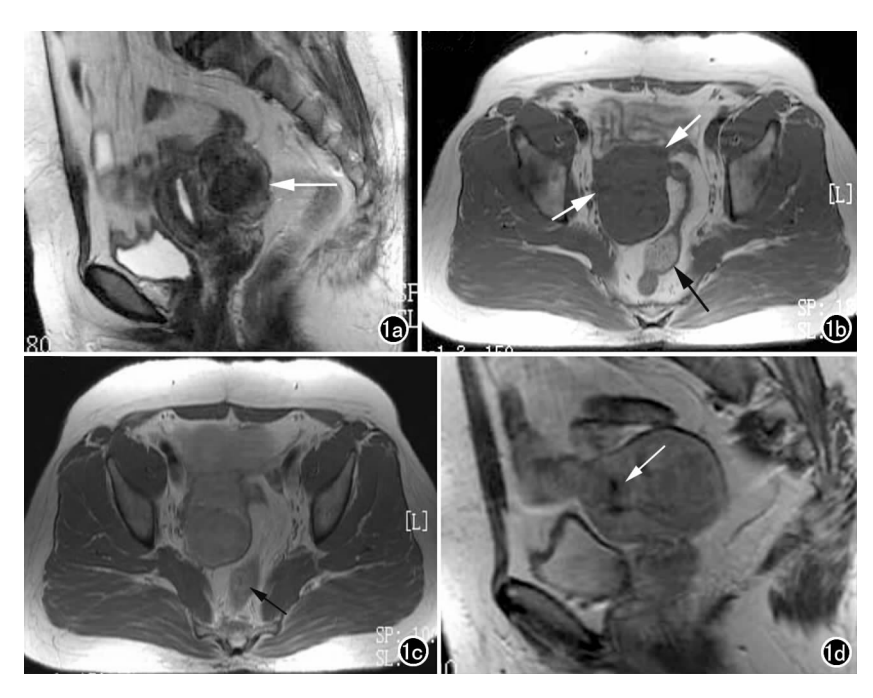


图 1 子宫内膜癌 Γ a Γ a Γ a Γ a Γ b)横轴面。 Γ WI 示子宫体浆膜下和肌层内多个等信号的肿块(白箭),病理证实为子宫肌瘤;高信号的内膜信号不均匀,其内可见点状稍低信号影,为肿瘤灶(黑箭),结合带光滑、完整; c)横轴面; d)矢状面,增强后增厚的子宫内膜出现点状强化(箭),内膜下可见轻度强化带(箭);浆膜下子宫肌层内的结节状病灶明显强化,与周围子宫肌层强化一致。

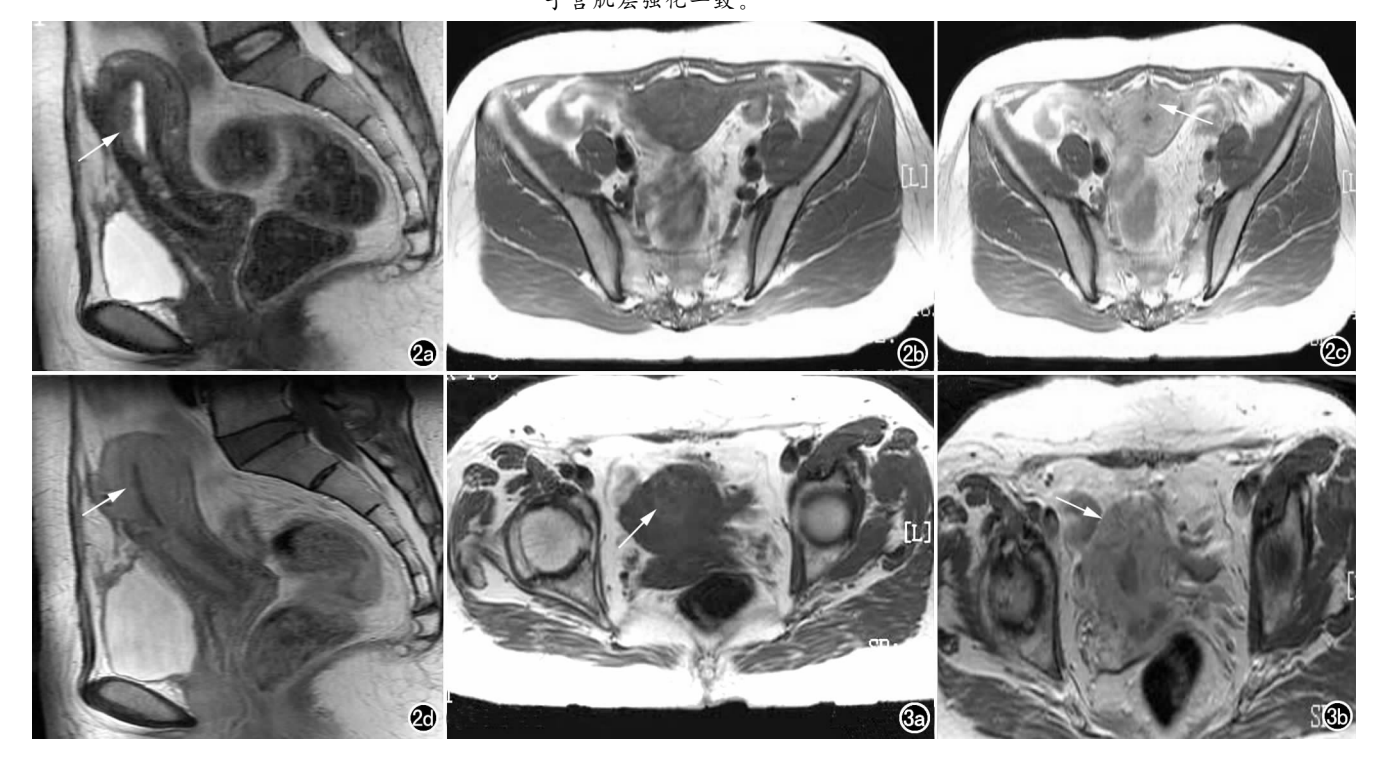


图 2 Ib 期子宫内膜癌。a) 矢状面;b) 横轴面。 T_2WI 示子宫内膜增厚,宫腔明显扩大,低信号的结合带中断,肌层受累< 1/2,肌层外缘光整;病灶呈略低于内膜的稍高信号影(箭)。增强 T_1WI ,c) 横轴面;d) 矢状面。示明显扩大的宫腔内,增厚的子宫内膜出现不规则的点、片状强化,结合带部分中断,可见轻度强化(箭)。 图 3 Ic 期合并多发子宫肌瘤。a) 平扫示子宫腔明显扩大,子宫内膜增厚,子宫肌层内可见点状的高信号影(箭)和多个等低信号的结节影(箭);b) 动态增强 T_1WI 示粘膜下带明显强化,并可见部分中断,肿瘤结节轻度强化,累及浆膜下肌层,子宫肌层明显全程强化(箭)。

讨 论

I 期子宫内膜癌由于肿瘤组织与子宫体肌层的 T_1 弛豫时间相同,故二者 T_1 WI 上信号相同,很难辨别,本组 54 例(100%)均表现为等信号。但肿瘤与正常子宫体肌层的血供不同,注射 Gd-DTPA 后动态增强 MRI 扫描有利于辨别肿瘤灶。本组中延迟期肿瘤的强化程度明显低于子宫肌层,呈相对低信号,可清楚显示肌层受累情况,但肌层外缘完整,在此期肿瘤与子宫肌层的 CNR 具有显著的统计学差异(P<0.001)。

 T_2 WI 能准确对 I 期子宫内膜癌进行分期, T_2 WI 上大多数病灶表现为高信号,且不均匀,也可表现为稍 低于内膜而高于肌层的稍高或等信号,极少数可为稍 低信号;在 T₂WI 上结合带呈明显的低信号,位于子宫 内膜和肌层之间,组织学上是子宫肌层的一部分,为子 宫肌层的内 1/4~1/3。结合带是否完整、光滑,这也 是 MRI 区分 I a、I b 期的标准指标。 I a 期显示结合 带存在或完整,肿瘤还未侵及肌层; Tb期肿瘤侵犯子 宫体肌层,可见低信号的结合带中断、消失,子宫体肌 层受累,且受累程度≤1/2; I c 期可见子宫体浆膜层 完整、光滑,结合带中断,肌层受累>1/2。此外本组资 料有13例(24%)为绝经后妇女,结合带显示不明显, 是由于子宫退化、萎缩,体积变小,子宫体肌层变薄,结 合带多不明显或消失。这就需要注意观察子宫宫腔内 高信号与肌层等信号间的界面是否光滑、完整,以明确 分期, 笔者认为子宫肌层内缘毛糙为早期肌层受累表 现,但也是易导致误诊的原因之一。文献报道如果子 宫浅肌层明显变薄、中断,表明肌层受到侵犯[1-3]。动 态增强 MRI 扫描更有助于明确诊断,可见子宫内膜与 肌层之间存在一完整光滑的强化带,该强化带有无破坏,或边缘是否光整,有无毛糙,是判断肌层是否受到肿瘤侵犯的重要特征。此外,合并子宫平滑肌瘤等病变时,子宫正常解剖结构带受压变形,易造成对肿瘤侵犯肌层的判断过高或过低。

临床上I期子宫内膜癌以手术治疗为主,包括剖腹探查术、子宫全切术及双侧卵巢切除术、盆腔及腹主动脉淋巴结清扫术。其治疗方法及术式的不同直接关系到预后。目前关于手术方式的选择尚存争议,但国内外的文献多认为对有高危因素的Ic期患者应扩大手术范围或术后予以辅助治疗^[4,5]。虽然目前常规的诊刮就能确诊子宫内膜癌,但是诊刮无法判定肌层受累程度及淋巴结转移情况。从本组资料来看,MRI有助于准确诊断子宫肌层受侵犯的深度、范围,其准确性远远大于超声和CT,对于制定合适的诊疗计划、降低手术风险和术后并发症有极大的帮助。

参考文献:

- [1] 胡和平,陈士岭. 盆腔 MRI 诊断学[M]. 北京:军事医学科学出版 社,1998,67-70.
- [2] Manfredi R, Mirk P, Maresca G, et al. Local-Regional Staging of Endometrial Carcinoma; Role of MR Imaging in Surgery Planning [J]. Radiology, 2004, 231(2): 372-378.
- [3] Hardesty LA, Sumkin JH, Nath ME, et al. Use of Preperative MR Imaging in the Management of Endometrial Carcinoma. Cost Analysis[J]. Radiology, 2000, 215(1): 45-49.
- [4] 高劲松,沈铿,郎景和,等.不同手术方式对 I 期子宫内膜癌患者 生存及复发的影响[J].中华妇产科杂志,2002,37(2):90-93.
- [5] Aoki Y, Watanabe Y, Amikura T, et al. Adjuvant Chemotherapy as Treatment of High-Risk Stage I and I Endometrial Cancer [J]. Gynecol Oncol, 2004, 94(2):333-339.

(收稿日期:2005-03-10 修回日期:2005-06-21)

《放射学实践》精品栏目介绍

"图文讲座"是本刊已有数年历史的精品栏目。该栏目与专家讲座和继续教育园地报道主题相类似,以普及和提高见长,深受广大读者欢迎。"图文讲座"栏目图与文占有同样重要的位置,通常图有 20 余幅,与文密切配合,互为补充(类似AJR中的 Pictorial assay),使读者更易系统地理解影像医学专业知识。

"研究生展版"是专为影像学界硕士和博士研究生开辟的栏目,字数 6000 字以内。该栏目要求以论著形式投稿,讲求学术性、创新性。一经评审通过即可发表。

"有问有答"栏目是编辑部与广大读者互动的平台。读者朋友们在放射学实践中如遇疑难问题,欢迎来函咨询。本刊 热忱为您服务,并请专家作答以飨读者。

欢迎投稿,欢迎订阅!